

Développement d'une Méthode de Chimie Quantique Mêlant Plusieurs Niveaux de Théorie : Applications à l'Etude des Etats Electroniques de Macromolécules

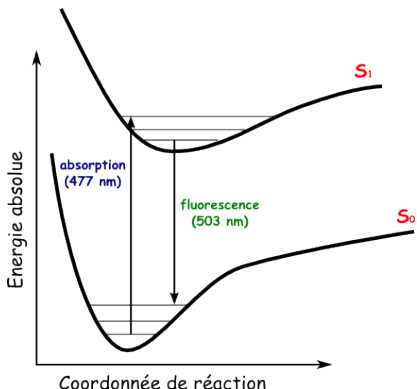
Pierre-François Loos

Equipe de Chimie et Biochimie Théoriques,
UMR 7565 CNRS-UHP, Institut Jean Barriol (FR CNRS 2843),
Faculté des Sciences et Techniques, Nancy-Université, B.P. 239,
France

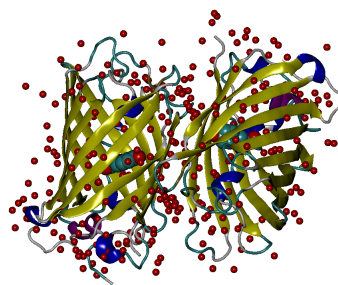
13 Juin 2008

Green Fluorescent Protein (GFP)¹

Excitation et émission



PDB ID : 1GFL² — *Aequorea victoria*



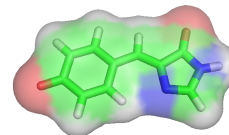
¹Zimmer, *Chem. Rev.* 2002, 102, 759.

²Yang et al. *Nat. Biotechnol.* 1996, 14, 1246.

Système modèle & effets de solvant

Chromophore de la GFP¹ : état B

Modèle SCRF : solvatation implicite



Méthodes	Etat B
SAC-Cl ³	558
TD-B3LYP ⁴	403
SAC-Cl(Onsager) ³	549
TD-B3LYP(PCM) ⁴	417
Exp	477

³Das et al. / Comput. Chem. 2003, 24, 1421

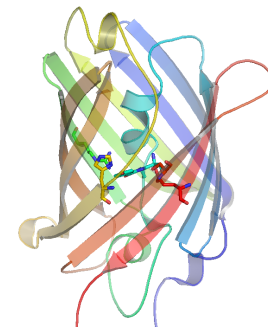
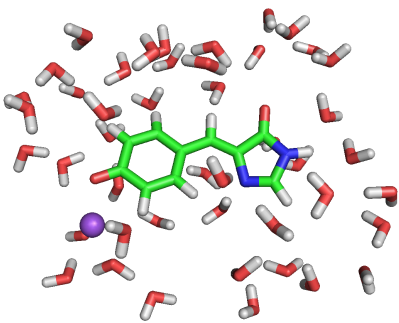
Méthodes hybrides

QM:MM : solvation explicite

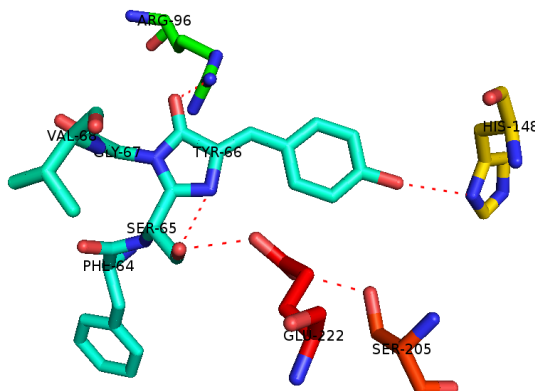
CASPT2/TIP3P⁵ : B (434 nm)

QM/MM : environnement biologique

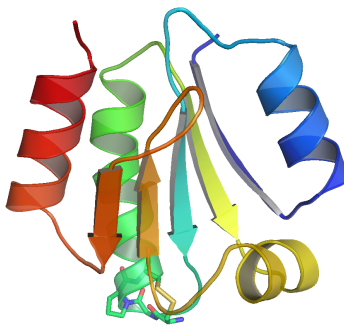
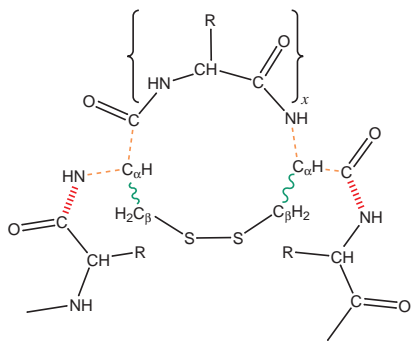
CASPT2/CHARMM⁵ : B (442 nm)



Site actif de la GFP : liaisons covalentes protéine-chromophore

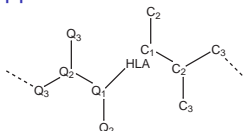


QM/MM, ou l'art de la partition

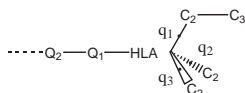


Thioredoxin⁶ (1TOF)

Approches Link-Atom

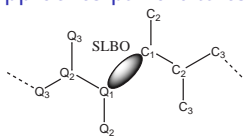


HLA⁷

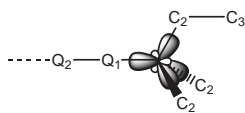


RCD⁸

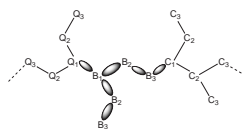
Approches par orbitales localisées



LSCF⁹



GHO¹⁰



EFP¹¹

⁷Maseras et al. *J. Comput. Chem.* 1995, 16, 1170.

⁸Lin et al. *J. Phys. Chem. A* 2005, 109, 3991.

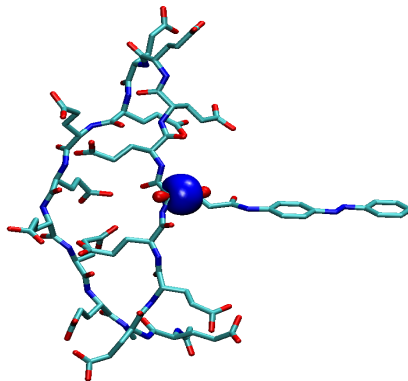
⁹ Assfeld et al. *Chem. Phys. Lett.* **1996**, *263*, 100.

¹⁰Pu et al. *J. Phys. Chem. A* 2004, 108, 632.

¹¹Kairy et al. *J. Phys. Chem. A* 2001, 104, 6656.

Calcul LSCF/MM

- Local Self-Consistent Field : partie quantique



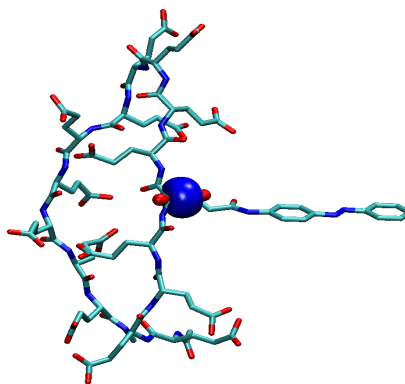
Calcul LSCF/MM

- Local Self-Consistent Field : partie quantique
 - Optimisation sous contrainte de la fonction d'onde :

$$\mathbf{F} \cdot \mathbf{C} = \underbrace{\mathbf{S} \cdot \mathbf{C} \cdot \mathbf{E}}_{\text{variationnelle}} + \underbrace{\mathbf{S} \cdot \mathbf{L} \cdot \Lambda}_{\text{gelée}}$$

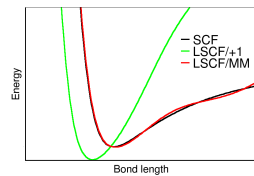
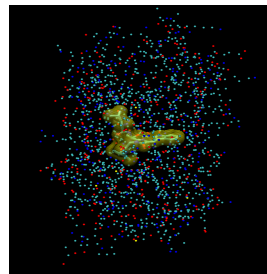
- Frontière QM/MM
Strictly Localized Bond Orbital (SLBO) \iff

$$|I_I\rangle = \sum_{\mu \in \{X, Y\}} I_{\mu I} |\mu\rangle$$



Calcul LSCF/MM

- Local Self-Consistent Field : interface QM \rightleftharpoons MM



¹²Ferré et al. *J. Comput. Chem.*, 2002, 23, 610.

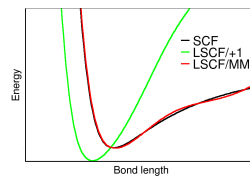
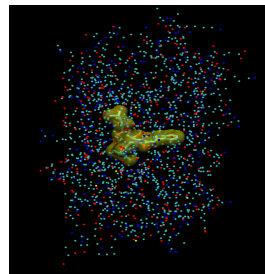
Calcul LSCF/MM

- Local Self-Consistent Field : interface QM \rightleftharpoons MM
 - Electronic Embedding : polarisation explicite de la fonction d'onde

$$\sum_{A \in MM} \sum_{\mu\nu} P_{\mu\nu}^T \left\langle \mu \left| \frac{q_A}{|\mathbf{r} - \mathbf{R}_A|} \right| \nu \right\rangle$$

- Atome Y quanto-classique :
 - quanto : base gaussienne QM + charge nucléaire (+1)
 - classique : paramètres non-liés (charge, vdw) + certains liés
- Potentiel de liaison frontière¹² :

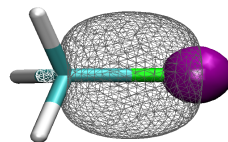
$$E_{X,Y_I} = (A + Br + Cr^2) e^{Dr} + \frac{E}{r}$$



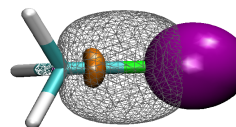
¹²Ferré et al. *J. Comput. Chem.*, 2002, 23, 610.

Comment s'affranchir du potentiel frontière ?

- Prise en compte des e- de cœur de l'atome frontière (1 e- SLBO + 2 e- de cœur)
 - Augmentation de la charge nucléaire (+3)



FCO¹³



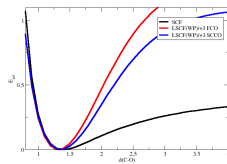
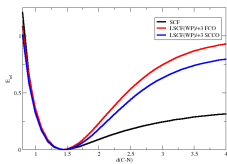
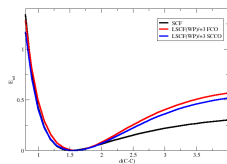
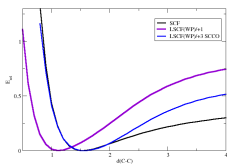
SCCO¹⁴

¹³Fornili et al. *Chem. Phys. Lett.* **2006**, 427, 236.

¹⁴Loos et al. *Comput. Lett.* **2007**, 4, 473.

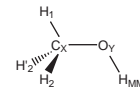
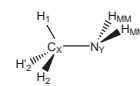
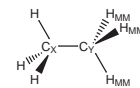
Profils de dissociation des différents types de liaisons

Ethane (C-C)



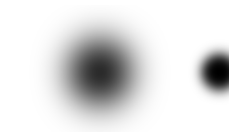
Méthylamine (C-N)

Méthanol (C-O)

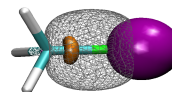


Orbitale de cœur gelée (FCO) ou auto-cohérente (SCCO) ?

- **SCCO** plus diffuse que FCO



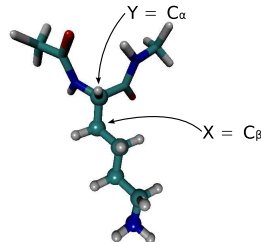
- Délocalisation partielle de la SCCO vers l'atome X



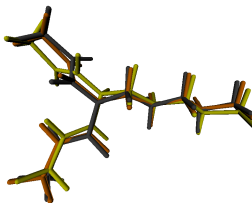
- SCCO évite la determination de la FCO !
- Performances géométriques et énergétique quasi-identique

Tripeptide Ace-Lys-NMe

- QM : HF/6-311G**
- MM : Amber ff99 + RESP
- SLBO et FCO : ELMO¹⁵



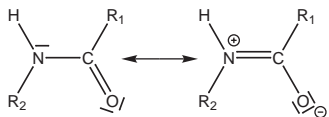
	$d(C_\alpha - C_\beta)$	ΔE
FBP	1,519(-0,017)	239,0(3,6)
FCO	1,573(0,037)	237,6(2,2)
SCCO	1,589(0,053)	238,0(2,6)



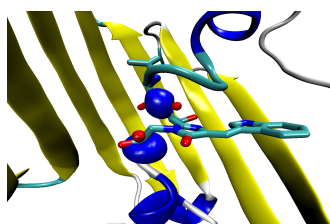
¹⁵Stoll et al. *Theor. Chem. Acc.* **1980**, *57*, 169; Fornili et al. *J. Mol. Struct. (THEOCHEM)* **2003**, *632*, 157.

Traitements de la liaison peptidique¹⁶

- Prise en compte de 2 e- de valence pour l'atome d'azote
- Permet de représenter le doublet de l'azote
⇒ augmentation de la charge nucléaire (+5) de l'atome d'azote frontière



Formes mésomères

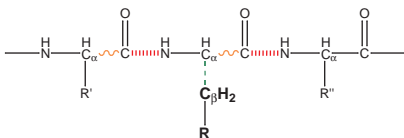


Enhanced Cyan Fluorescent Protein (1OXD)

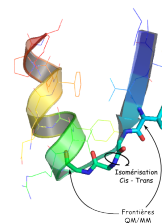
¹⁶Loos et al. AIP Conf. Proc. 2007, 963, 308.

Une alternative intéressante aux partitions communes

- Partition naturelle pour les polypeptides et protéines
- Utilisable quelque soit le champ de force (traitement des charges classiques)
- Description symétrique de l'acide aminé
- Densité convenable à la jonction



Différents localisations



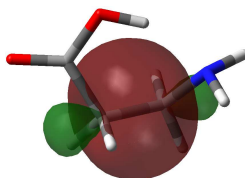
DHFR (1DRE) : $C_{\alpha}-C(=O)^{17}$

¹⁷Loos et al. *Theor. Chem. Acc.* 2007, 118, 165.

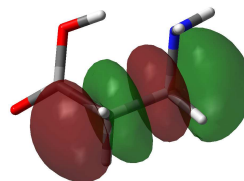
La méthode Optimized LSCF (OLSCF)

Vers une SLBO aut-cohérente : SCSLBO¹⁸

$$\mathbf{F}^I = \begin{pmatrix} F_{11}^I & F_{12}^I \\ F_{12}^I & F_{22}^I \end{pmatrix} = \begin{pmatrix} \langle I_I | \hat{F} | I_I \rangle & \langle I_I^* | \hat{F} | I_I \rangle \\ \langle I_I | \hat{F} | I_I^* \rangle & \langle I_I^* | \hat{F} | I_I^* \rangle \end{pmatrix}$$



SLBO $|I_1\rangle$



SLABO | I*

$$|I_I\rangle_{\text{new}} = C'_1 \cdot |I_I\rangle_{\text{old}} + C'_2 \cdot |I_I^*\rangle_{\text{old}}$$

$$|I_J^\star\rangle_{\text{new}} = -C_2^J \cdot |I_J\rangle_{\text{old}} + C_1^J \cdot |I_J^\star\rangle_{\text{old}}$$

¹⁸Loos et al. *J. Chem. Theor. Comput.* **2007**, *3*, 1047

La méthode Optimized LSCF (OLSCF)

Comment obtenir une SLABO ?

- idem que SLBO : rotation dans l'espace des MOs virtuelles
 - Projection PB → GB :

$$|I_l^\star\rangle = \sum_{\mu\nu} |\mu\rangle (\mathbf{S}^{-1})_{\mu\nu} \langle \nu | I_l^\star \rangle_{\text{PB}}$$

- #### ■ "Sens chimique" :

$$SLBO : |I_I\rangle = I_{X,I}|h_I^{X_I}\rangle + I_{Y,I}|h_I^{Y_I}\rangle$$

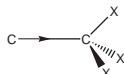
$$\text{SLABO} : |I_I^*\rangle = N_I^* \left(I_{X_I I} |h_A^{X_I}\rangle - I_{Y_I I} |h_I^{Y_I}\rangle \right) = I_{X_I I}^* |h_A^{X_I}\rangle + I_{Y_I I}^* |h_I^{Y_I}\rangle$$

- #### ■ Méthode de Head-Gordon et collaborateurs¹⁹

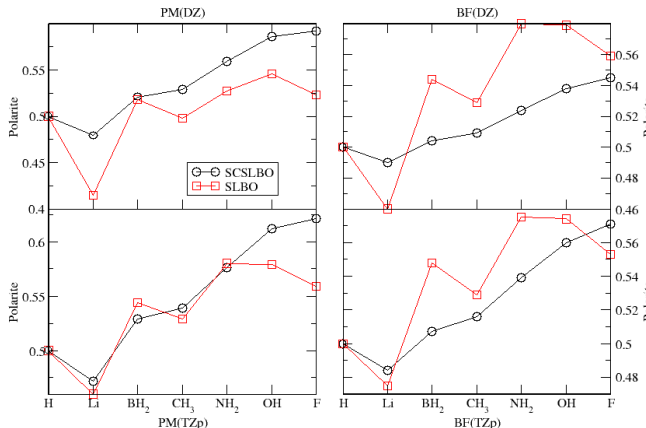
¹⁹Subotnik et al. *J. Chem. Phys.* **2005**, *123*, 114108.

La méthode Optimized LSCF (OLSCF)

Effets de substituants : HF/6-31G* et HF/6-311G**



$$P_I = \frac{q c_X}{2} = \sum_{\mu \in C_X} \sum_{\nu} l_{\mu I} l_{\nu I} S_{\mu \nu}$$

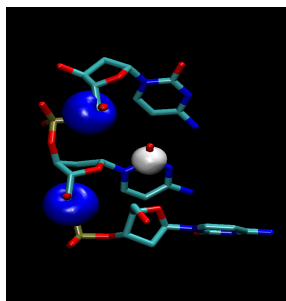


Energie d'ionisation de cœur

- Permet d'obtenir des informations sur la structure et la nature des molécules¹
- Etudes expérimentales sur des macromolécules²

Etudes théoriques

- Etats excités \Rightarrow effondrement variationnel et contrainte d'orthogonalité³
- Systèmes macromoléculaires \Rightarrow calculs LSCF/MM



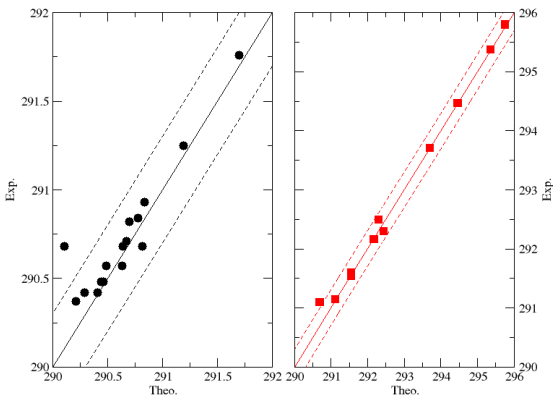
¹Schwarz et al. *Angew. Chem. Int. Ed.* **1974**, *13*, 454.

²voir par exemple : Gordon et al. *J. Phys. Chem. A* **2003**, *107*, 8512.

³Ferré et al. *J. Chem. Phys.* **2002**, *117*, 4119.

Etats ionisés et excités de cœur

Molécules organiques : PBE0(BF)/6-311++G**//B3LYP/6-311++G**
(RMSD = 0,16 eV)



atomes C, H
RMSD = 0,09 eV

atomes C, H, N, O
RMSD = 0,19 eV

Etats ionisés et excités de cœur

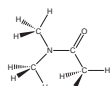
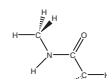
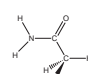
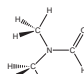
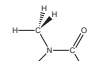
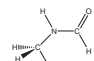
Déviation maximale

Th. vs Th. & Exp. vs Th.

- Ref.¹-This work: $\simeq 0.3$ eV
- Exp.²-This work: $\simeq 0.2$ eV
- Exp.-Ref.: $\simeq 0.2$ eV

\Rightarrow Détermination précise des énergies d'ionisation de cœur (C 1s)

Etats de cœur ionisés de la liaison peptidique :
PBE0/6-311++G**//B3LYP/6-311++G**

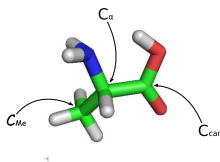


¹Chong et al. *J. Phys. Chem. A* 2002, 106, 356.

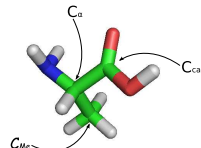
²Joly et al. *J. Atomic Data and Nuclear Data Tables*, 1984, 31, 433.

Etats ionisés et excités de cœur

Conformations: $\Delta E < 1 \text{ kcal/mol}$



Conf. 1

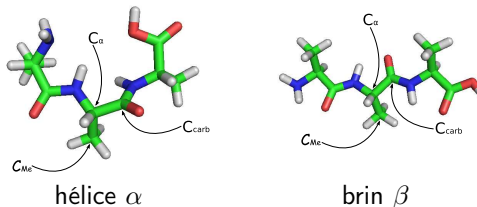


Conf. 2

Energie d'ionisation C 1s (eV) : Alanine

	Conf. 1	Conf. 2	Exp. ²
C _α	292.45(-0.15)	292.16(+0.14)	292.30
C _{carb}	294.60(+0.70)	294.92(+0.38)	295.30
C _{Me}	291.11(+0.09)	290.89(+0.31)	291.20

²Powis et al. *J. Phys. Chem. A* 2003, 107, 25.

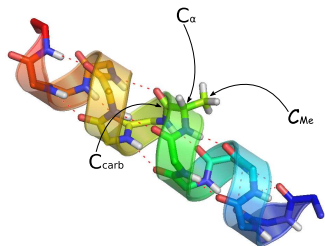
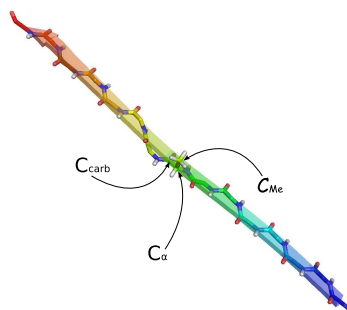
Ala-Tripeptide: conformation en hélice α et en brin β 

Energies d'ionisation C 1s (eV) : Ala-Tripeptide

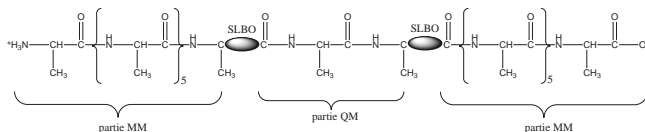
	hélice α	brin β	
C_α	291.87	292.00	$\simeq 0.3\text{-}0.4 \text{ eV}$
C_{carb}	293.69	293.87 ³	$\simeq 2.0 \text{ eV}$
C_{Me}	290.50	290.62	$\simeq 0.3\text{-}0.4 \text{ eV}$

 $^3C_{\text{carb}}$ N-methylacetamide 293.37 eV

Poly-Ala-pentadecapeptide

hélice α brin β

Partition QM/MM du poly-Ala-pentadcapeptide

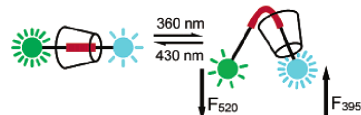


Energies d'ionisation C 1s (eV) : Pentadcapeptide

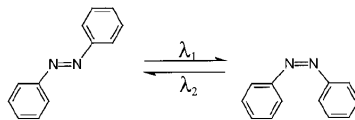
	PBE0/Amber		PBE0/Amber*	
	Hélice α	Brin β	Hélice α	Brin β
C_{α}	-0.26	-0.62	+0.05	+0.08
C_{carb}	-0.09	-0.76	+0.63	+0.23
C_{Me}	-0.71	-0.32	+0.47	+0.11

Applications industrielles et technologiques des dérivées de l'azobenzène

- Colorant en 'absorption' : 60-70% de la production mondiale¹



Isomérisation photoréversible : TAB \rightleftharpoons CAB



⁷Loos et al. *J. Chem. Theor. Comput.* **2008**, 4, 637.

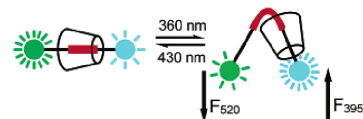
¹Zollinger, H. In *Color Chemistry, Syntheses, Properties and Applications of Organic Dyes and Pigments*; Wiley-VCH, Weinheim, 3 ed., 2003.

²Natansohn et al. *Chem. Rev.*, **2002**, 102, 4139.

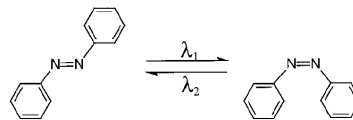
³Qu et al. *Org. Lett.*, **2004**, 6, 2085.

Applications industrielles et technologiques des dérivées de l'azobenzène

- Colorant en 'absorption' : 60-70% de la production mondiale¹
- Périphériques de stockage²
- Moteurs moléculaires³



Isomérisation photoréversible : TAB \rightleftharpoons CAB



⁷Loos et al. *J. Chem. Theor. Comput.* **2008**, 4, 637.

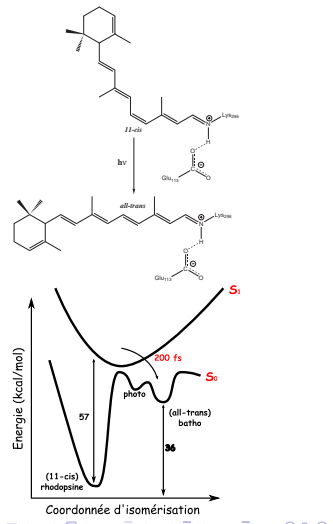
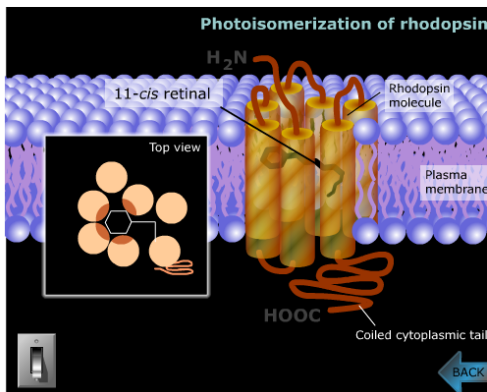
¹Zollinger, H. In *Color Chemistry, Syntheses, Properties and Applications of Organic Dyes and Pigments*; Wiley-VCH, Weinheim, 3 ed., 2003.

²Natansohn et al. *Chem. Rev.*, **2002**, 102, 4139.

³Qu et al. *Org. Lett.*, **2004**, 6, 2085.

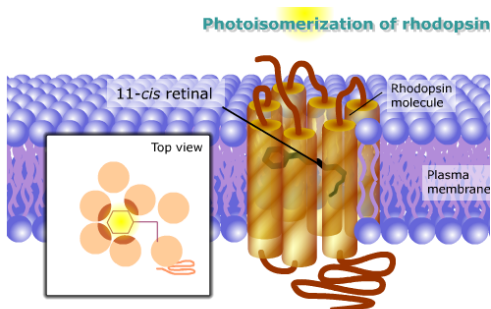
<http://www.blackwellpublishing.com/matthews/rhodopsin.html>

Energie lumineuse \rightleftharpoons Energie mécanique

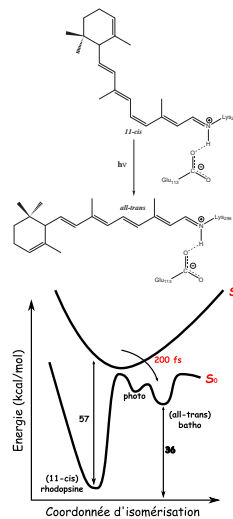


<http://www.blackwellpublishing.com/matthews/rhodopsin.html>

Energie lumineuse \rightleftharpoons Energie mécanique



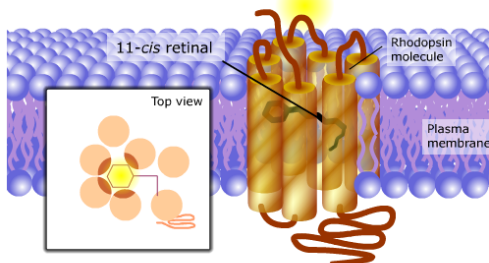
BACK



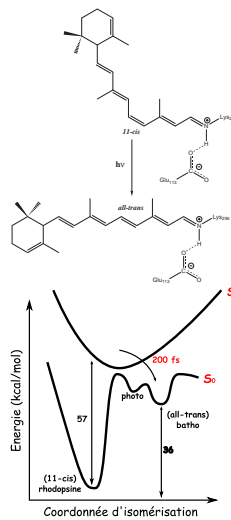
<http://www.blackwellpublishing.com/matthews/rhodopsin.html>

Energie lumineuse \rightleftharpoons Energie mécanique

Photoisomerization of rhodopsin



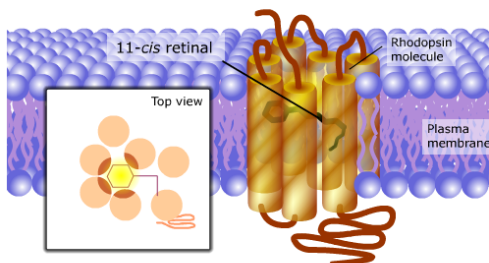
BACK



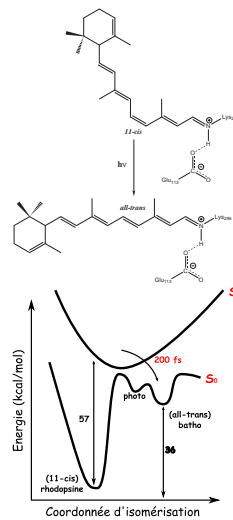
<http://www.blackwellpublishing.com/matthews/rhodopsin.html>

Energie lumineuse \rightleftharpoons Energie mécanique

Photoisomerization of rhodopsin

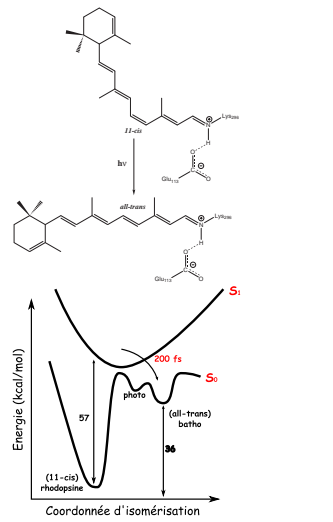
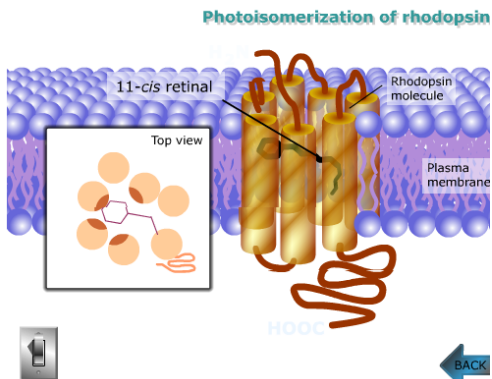


BACK



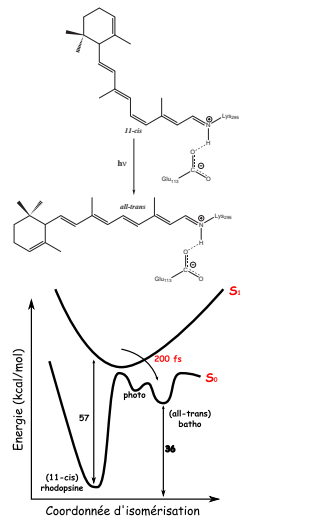
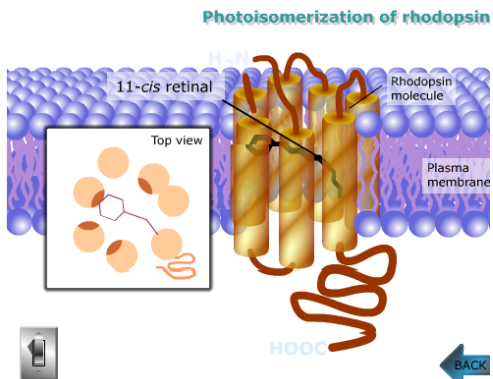
<http://www.blackwellpublishing.com/matthews/rhodopsin.html>

Energie lumineuse \rightleftharpoons Energie mécanique



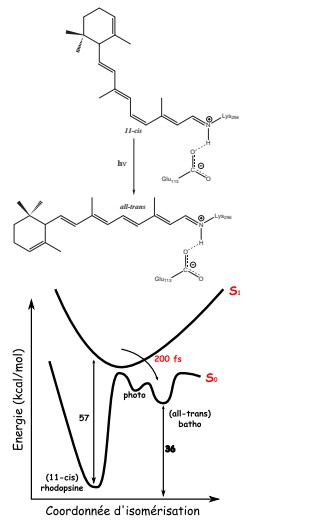
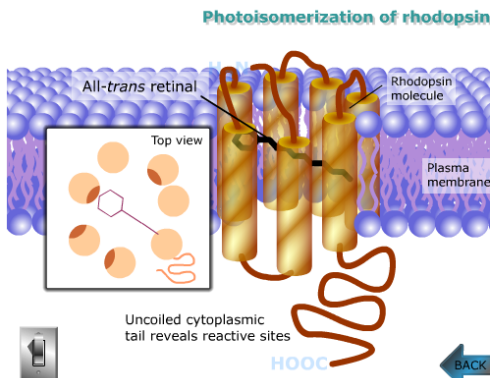
<http://www.blackwellpublishing.com/matthews/rhodopsin.html>

Energie lumineuse \rightleftharpoons Energie mécanique



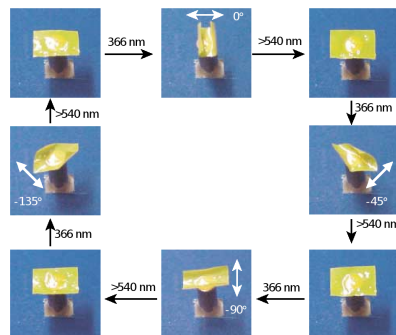
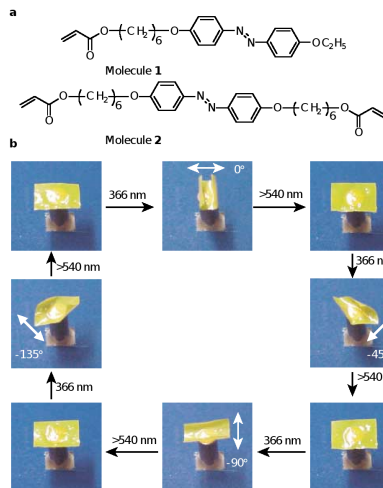
<http://www.blackwellpublishing.com/matthews/rhodopsin.html>

Energie lumineuse \rightleftharpoons Energie mécanique



Spectres UV-vis de Macromolécules

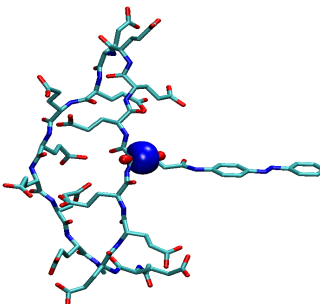
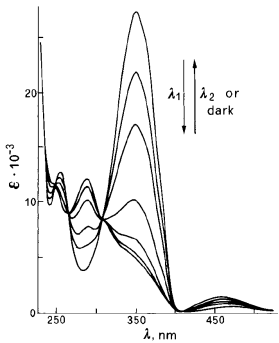
Yu, Y.; M. Makoto, M.; T. Ikeda, T. *Nature*, 2003, 425, 145.



Spectres UV-vis de Macromolécules

Spectre UV-vis : TD-DFT

Système macromoléculaire : calculs MM

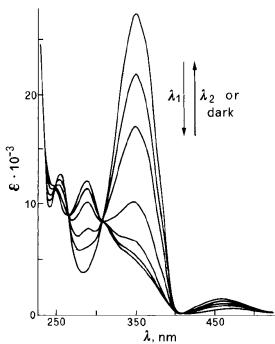


⁶Briquet et al. *Chem. Phys. Lett.*, 2006, 417, 190.

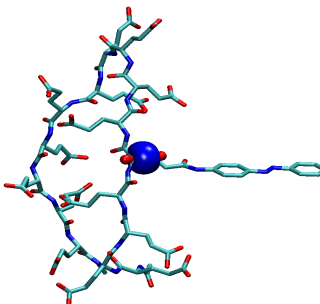
Spectres UV-vis de Macromolécules

Spectre UV-vis : TD-DFT

- Géometries: B3LYP/6-311G(d)
- Spectre UV-vis : TD-DFT PBE0/6-311+G(d)⁶



Système macromoléculaire : calculs MM

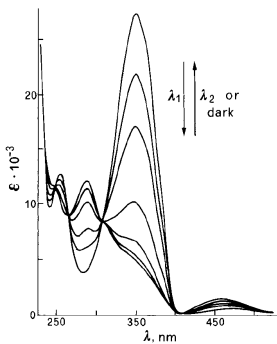


⁶Briquet et al. *Chem. Phys. Lett.*, 2006, 417, 190.

Spectres UV-vis de Macromolécules

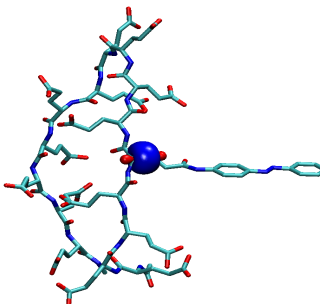
Spectre UV-vis : TD-DFT

- Géometries: B3LYP/6-311G(d)
- Spectre UV-vis : TD-DFT PBE0/6-311+G(d)⁶



Système macromoléculaire : calculs MM

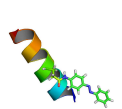
- Champ de force : Amber ff99
- GLU protoné
- N et C-terminus: groupement NME et ACE



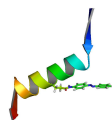
⁶Briquet et al. *Chem. Phys. Lett.*, 2006, 417, 190.

Géométries QM/MM des Poly(acide L-glutamique) + TAB

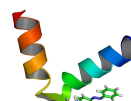
■ Structure α



Hélice α

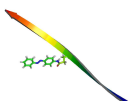


β - α - β

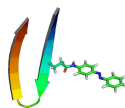


α - β - α

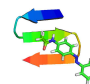
■ Structure β



Brin β



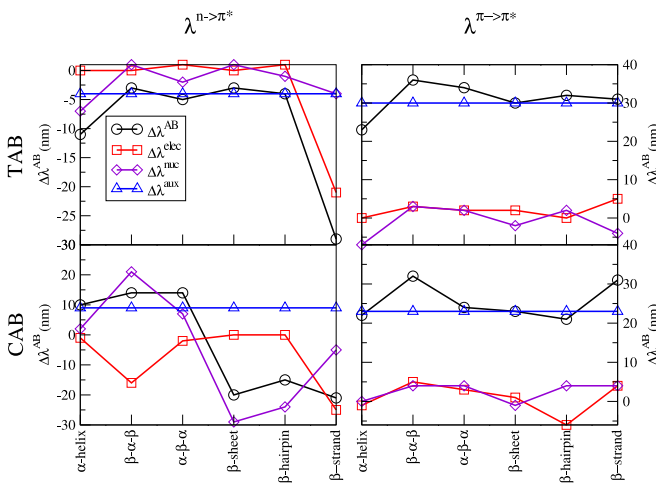
Epingle β



Feuillet β

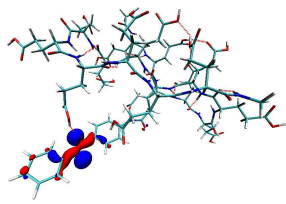
Spectres UV-vis de Macromolécules

$$\Delta\lambda^{\text{AB}} = \Delta\lambda^{\text{elec}} + \Delta\lambda^{\text{nuc}} + \Delta\lambda^{\text{aux}}$$

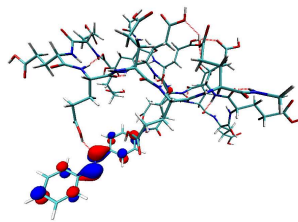


Orbitales frontières de la transition $n \longrightarrow \pi^*$

Orbitale non-liante (n)

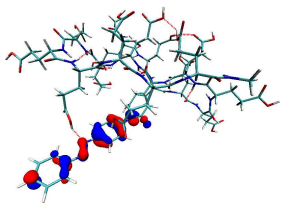


Orbitale anti-liante (π^*)

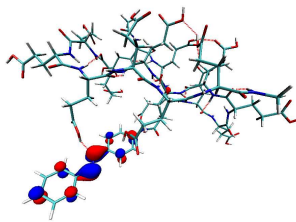


Orbitales frontières de la transition $\pi \longrightarrow \pi^*$

Orbitale liante (π)

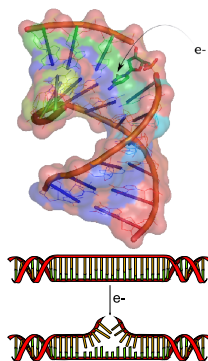


Orbitale anti-liante (π^*)

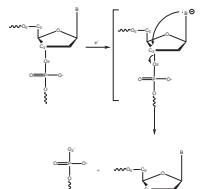


Attachements électroniques

Lésion simple-brin de l'ADN¹



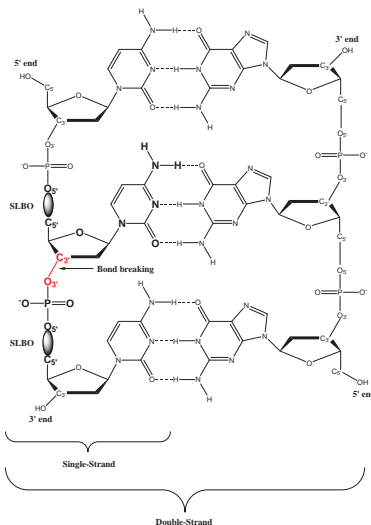
Mécanisme proposé



¹Boudaïffa et al, *Science*, 2000, 287, 1658.

Attachments électroniques

Partition QM/MM



Conclusions

Perspectives

